

Ю.В. Данилович, О.Ю. Чуніхін, Г.В.Данилович

## Тестування змін розмірів міоцитів матки за дії модуляторів її скоротливої активності методом фотонної кореляційної спектроскопії

Із використанням фотонної кореляційної спектроскопії вивчено вплив речовин-модуляторів контрактильної активності гладеньких м'язів на розміри (діаметр) міоцитів матки цурів. Клітини візуалізувалися за допомогою лазерної конфокальної мікроскопії як об'єкти переважно овальної або близької до овальної форми. Діаметр міоцитів, оцінений за допомогою фотонної кореляційної спектроскопії, становив 7–10 мкм, що узгоджується із результатами, одержаними нами з використанням лазерної конфокальної мікроскопії. Показано, що такі міоконстрикторні агенти, як кальцієвий іонофор А-23187 (10 мкмоль/л) та інгібітори калієвих каналів (тетраетиламоній та 4-амінопіridин у концентрації 1 ммоль/л), призводять до зменшення діаметра клітин у середньому на 22, 12 і 24 % відповідно. За наявності оуабайну, який знижує скоротливу активність гладенького м'яза, спостерігається збільшення досліджуваного показника в середньому на 23 %. Отже, зменшення/збільшення діаметра міоцитів матки за дії вказаних речовин корелює із добре відомим в науковій літературі їх впливом на скорочення/розслаблення міометрія.

**Ключові слова:** фотонна кореляційна спектроскопія, міоцити, міометрій, міоконстриктори, оуабайн.

### ВСТУП

Скоротлива активність м'язового волокна супроводжується суттєвими змінами низки його фізико-хімічних характеристик, передусім електропровідності, осмомолярності міоплазми, її іонної сили та pH, температури, локального тиску, а також лінійних розмірів самого волокна [1, 5, 7]. Водночас інформація щодо змін об'єму міоцитів під час контрактильної активності доволі обмежена. З огляду на те, що скорочення м'яза багато в чому визначається структурно-функціональними особливостями окремих його волокон, дослідження волюметричних характеристик міоцитів здатне розширити наші уявлення стосовно клітинних механізмів узгодженої роботи м'язів.

Зміни об'єму клітин спостерігаються як за умови дії на них речовин-регуляторів, так і у разі впливу чинників патогенезу. Клітинний об'єм чутливий до широкого спектра

зовнішніх (внутрішніх) факторів, до яких відносяться створення анізоосмотичних умов, оксидативний/нітрозативний стрес, вплив концентрованих амінокислот, аміаку, гормонів тощо [14–16, 25, 26]. З огляду на це коло проблем стосовно осморегуляції клітинних функцій та її порушення, яке супроводжує виникнення патологічного стану, а також осмосигналінгу, як передумови осморегуляції, знайшли нині відображення в деяких роботах. Як приклад дослідницької активності в цій царині можна навести встановлення зв'язку між дією інсуліну і глутаміну на гепатоцити та збільшенням об'єму клітин, що супроводжується змінами у їхньому метаболізмі і генній експресії, причому роль осмосенсорів відіграють білки-інтегрини [14, 23]. У цьому разі в сигналізацію залучені МАР-кіназний месенджерний каскад (можливо, його Erk-підкаскад), а також G-протеїнзалежні та тирозинкіназні шляхи.

© Ю.В. Данилович, О.Ю. Чуніхін, Г.В.Данилович

Спричинену печінковою недостатністю енцефалопатію, яка супроводжується набряком мозку та підвищеним внутрішньочерепним тиском, багато авторів пов'язують із дією амонію на астроцити, що також супроводжується збільшенням їх об'єму [16, 26]. Наводяться докази того, що амоній посилює експресію та підвищує активність  $\text{Na}^+$ ,  $\text{K}^+$ ,  $2\text{Cl}^-$  – котранспортера, чому передує оксидативна/нітрозативна модифікація останнього [16]. З іншого боку, продемонстровано, що астроцити у гіпоосмотичному середовищі мають підвищену активність Ras/Raf/Erk<sub>½</sub> – сигнального шляху та характеризуються підвищением концентрації  $\text{Ca}^{2+}$  в цитозолі [23, 25]. Можна припустити, що зазначені біохімічні механізми лежать в основі осмосигналінгу гліальних клітин.

Загальноприйнятою є точка зору, що зміни клітинного об'єму визначаються процесами транспорту води крізь плазматичну мембрну. Відповідно до цього, порушення іонного гомеостазу клітини, як наслідок дисфункції іонотранспортувальних систем, може привести до руйнації осмобалансу між цитозолем та позаклітинним середовищем, що супроводжується акумуляцією міжклітинної води та зростанням клітинного об'єму [15]. Зокрема, в хондроцитах стабільність цього показника може підтримуватися за рахунок транспорту калію з клітини в умовах існування фізіологічно значущих значень потенціалу спокою на мембрані [18]. В осморегуляції клітини особливе значення мають іонні транспортери і обмінники на кшталт  $\text{Na}^+$ ,  $\text{K}^+$ ,  $2\text{Cl}^-$ -котранспортера,  $\text{Na}^+/\text{Ca}^{2+}$  та  $\text{Na}^+/\text{H}^+$ -обмінників, а також неселективні катіонні канали та чутливі до об'єму осмолітичні аніонні канали [15, 16]. Функціональна активність електrozбудливих клітин, зокрема м'язових, супроводжується суттєвими змінами інтенсивності трансмембраних іонних струмів, які достатні для зміщення осмотичної рівноваги між цитозолем і позаклітинним середовищем, а, отже, впливають на клітинний об'єм. Наводяться окремі докази кореляції

між скоротливою активністю гладенького м'яза та змінами об'єму міоцитів [12]. Можлива наявність функціонального зв'язку між змінами об'єму міоцитів і структурою сарколеми, цитоскелетними білками, а також протеїнами контрактильного апарату [13, 19, 21] дає змогу припустити значення осмосигналінгу в регуляції скоротливої активності м'язів. Проте інформація стосовно впливу речовин, які здатні змінювати контрактильну активність міоцитів на їх об'єм майже відсутня у доступній нам науковій літературі.

Для вивчення скоротливої функції міоцитів ефективними виявилися різноманітні оптичні методи дослідження [9, 11, 21]. Поміж розробкою таких підходів дасть можливість розширити уявлення про механізми функціонування м'яза на клітинному рівні. Контрактильна активність м'язової клітини супроводжується змінами її геометрії [12, 19], що буде впливати на оптичні характеристики клітин у суспензії, зокрема, показники світлорозсіювання [4, 6]. Зручним, швидким і відносно простим методом аналізу змін розмірів об'єктів, які знаходяться у броунівському русі, є фотонна кореляційна (лазерна кореляційна) спектроскопія. За допомогою цього методу аналізується інтенсивність розсіювання монохроматичного світла поверхнею об'єктів, які вивчаються, наслідком чого є одержання інформації щодо змін їх гідродинамічного діаметра (фактично розміру). Метод з високою ефективністю використовується в біології та медицині для вивчення формених елементів крові в нормі та при патології, оцінки ступеня набухання мітохондрій, яке спричинене відкриванням пори перехідної провідності, при дослідженні взаємодії антиген–антитіло, руху мікроорганізмів тощо [3, 4, 6]. Водночас у науковій літературі майже відсутня інформація стосовно застосування фотонної кореляційної спектроскопії для оцінки функціонального стану міоцитів.

Метою нашої роботи було: вивчити зміни розмірів свіжовиділених гладеньком'язових клітин матки (міометрія), які знаходяться у

сусpenзїї, при дії на них речовин, що впливають на контрактильну активність.

## МЕТОДИКА

Виділення сусpenзїї інтактних міоцитів з міометрія щурів. Сусpenзію гладеньком'язових клітин матки невагітних щурів, естрогенізованих за 16 год до забору тканини, одержували з використанням колагенази і соєвого інгібітора трипсину за допомогою методу Молларда та співавт. [20]. Загальну кількість клітин і кількість життездатних клітин підраховували з використанням гемоцитометра (камери Горяєва).

Фотонна кореляційна спектроскопія. Контрольні виміри проводили в модифікованому фізіологічному середовищі Хенкса (розрахована концентрація кальцію становить 0,03 ммол/л). Розміри міоцитів оцінювали за допомогою приладу ZetaSizer-3 ("Malvern Instruments", Великобританія) з корелятором Multi8 computing correlator type 7032 се. Прилад облаштований гелій-неоновим лазером ЛГ-111 з довжиною хвилі 633 нм і потужністю 25 мВт. Розсіюване від сусpenзїї міоцитів лазерне опромінення реєстрували протягом 1 хв п'ятиразово під кутом розсіювання 90°. Автокореляційну функцію обробляли за допомогою стандартної комп'ютерної програми PCS-Size mode v 1.61.

Розмір міоцитів досліджували методом фотонної кореляційної спектроскопії на лазерному кореляційному спектрометрі "ZetaSizer-3" ("Malvern Instrument", Великобританія), обладнаного Не-Не лазером ЛГН-111 ( $P = 25$  мВт,  $\lambda = 633$  нм). Діапазон вимірювання приладу становить від 1 нм до 20 мкм. Робота цього спектрометра основана на аналізі кореляційних характеристик флюктуації інтенсивності динамічно розсіяного світла при проходженні лазерного променю через середовище. Вимірювання кореляційної функції флюктуації інтенсивності розсіяного світла і інтегральної інтенсивності розсіювання дає змогу визначити коефіцієнт трансляційної дифузії дисперсних часток у

рідинах і за рівнянням Стокса-Эйнштейна визначити розподілення частинок у рідинах за розміром. Коефіцієнт трансляційної дифузії D частинок пов'язаний з тривалістю кореляції  $\tau_c$  співвідношенням:

$$Dq^2 = 1/\tau_c,$$

Хвильової вектор флюктуації концентрації q описується виразом:

$$\mathbf{q} = \frac{4\pi n}{\lambda_0} \sin\left(\frac{\Theta}{2}\right),$$

де n – показник заломлення середовища (рідини),  $\lambda_0$  – довжина хвилі випромінювання,  $\Theta$  – кут розсіювання.

Використовуючи формулу Стокса-Эйнштейна, яка пов'язує розмір частинок з їх коефіцієнтом трансляційної дифузії і в'язкістю рідини, можна розрахувати розмір сферичних частинок:

$$d(H) = \frac{k_B \cdot T}{3\pi\eta D},$$

де  $k_B$  – стала Больцмана, T – абсолютна температура,  $\eta$  – зсувна в'язкість середовища, в якому суспендовані частинки, D – коефіцієнт трансляційної дифузії.

Реєстрацію та статистичну обробку лазерного випромінювання, розсіяного від водної ( $n = 1,33$ ) сусpenзїї міоцитів, проводили 5-разово протягом 60 с при +22°C під кутом розсіювання 90°.

Отримані результати вимірювань обробляли за допомогою сервісної комп'ютерної програми PCS-Size mode v1.61.

Зйомки неприкреплених до субстрату клітин з використанням лазерної конфокальної мікроскопії. Візуалізували міоцити в фізіологічному середовищі Хенкса із використанням потенціалчувствливого зонда DiOC<sub>6</sub>(3) у концентрації 0,5 мкмоль/л. Забарвлені енергезовані клітини досліджували на лазерному скануючому конфокальному мікроскопі LSM 510 META ("Carl Zeiss", Німеччина) [2] у режимі Multi Track. Збудження флуоресценції DiOC<sub>6</sub>(3) здійснювали на довжині хвилі 488 нм, а її реєстрацію – в діапазоні 505-530 нм (світлофільтр BP 505-530).

Статистичний аналіз отриманих результатів проводили із використанням пакета стандартних програм IBM PC, застосовуючи загальновідомі методи і критерій t Стьюдента.

## РЕЗУЛЬТАТИ ТА ЇХ ОБГОВОРЕННЯ

В 1 мл отриманої клітинної суспензії містилося в середньому  $6,6 \cdot 10^6$  міоцитів; кількість життєздатних клітин, яку визначали при фарбуванні клітинного препарату вітальним барвником трипановим синім, становила 90–95 % від їх загального вмісту. Розміри міоцитів у суспензії становили 7–10 мкм, що узгоджується із результатами, одержаними нами з використанням лазерної конфокальної мікроскопії, хоча у суспензії наявні також більші за розмірами утворення та об'єкти нетривіальної геометрії (рис. 1). Більшість неприкріплених до субстрату клітин мають округлу та близьку до овальної форму, що відповідає термодинамічному принципу мінімуму енергії. In vitro лише міоцити, які прикріплюються до субстрату та розпластуються, набувають веретеноподібної морфології, характерної для гладеньком'язових клітин. Близька до сферичної форма міоцитів

у суспензії дає змогу використовувати метод фотонної кореляційної спектроскопії для оцінювання зміни їх розмірів. Переважання об'єктів видовженої форми або складної геометрії унеможлилювало б коректну реєстрацію автокореляційної функції. Необхідно зазначити, що у складі міометріальної тканини міоцити об'єднані в пучки, формують щілинні контакти і через рецептори інтегринів взаємодіють із білками позаклітинного матриксу [21, 24]. Це не дає змоги проаналізувати функціональну відповідь окремих клітин і вимагає проведення досліджень на міоцитах, одержаних за допомогою протеолітичних ферментів [21].

Аналіз змін мод діаметра міоцитів протягом 10 хв (розміри, які найбільш часто зустрічаються в досліджуваному зразку) дає змогу припустити, що процеси осадження клітин чи їх злипання не відіграють суттєвої ролі для інтерпретації подальших дослідів, оскільки спостерігаються флюктуації навколо середнього значення досліджуваного показника (рис. 2).

Надалі вивчали вплив окремих модуляторів скоротливої активності міометрія, дія яких надійно тестована в тензометричних

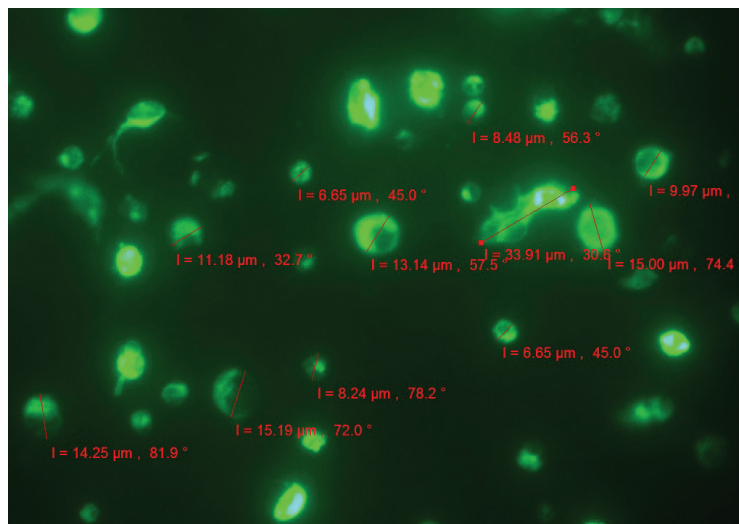


Рис. 1. Суспензія міоцитів, візуалізована із використанням лазерної конфокальної мікроскопії. Для візуалізації клітин використовували флуоресцентний барвник DiOC<sub>6</sub>(3). Зазначені розміри окремих об'єктів з відповідними кутами виміру

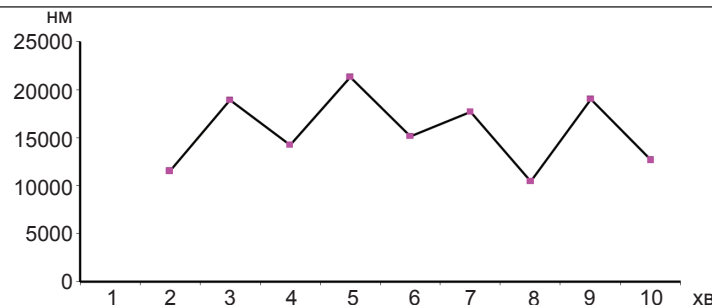


Рис. 2. Зміни мод діаметра міоцитів протягом 10 хв у середовищі із низькою концентрацією кальцію

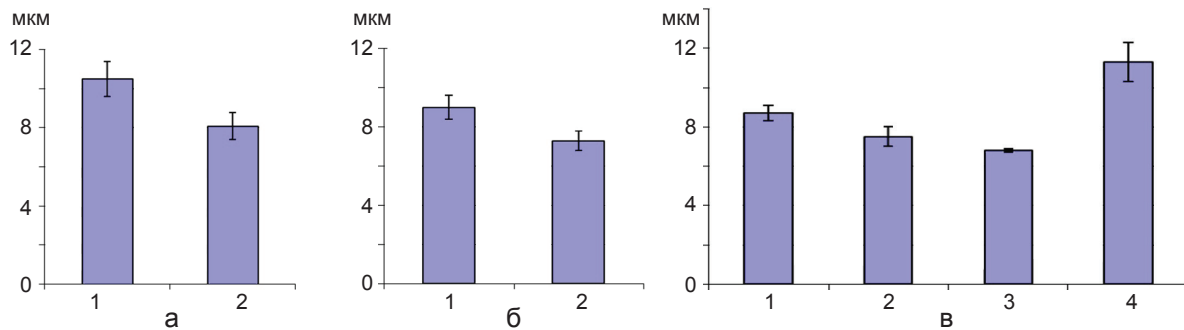
дослідженнях, на розміри міоцитів. Встановили, що додавання  $\text{Ca}^{2+}$  (близько 3 ммол/л) до суспензії міоцитів, які були преінкубовані в гіпокальцієвому фізіологічному розчині, зменшувало розміри клітин (рис. 3,а), що відповідає уявленням про „базальний” вхід катіона з позаклітинного середовища [17] і підвищення контрактильної активності матки у разі заміни гіпокальцієвого на нормальнє середовище. Подальші дослідження проводилися при фізіологічних концентраціях  $\text{Ca}^{2+}$ . Обробка суспензії кальцієвих іонофором А-23187 [17] викликала суттєве зменшення їхнього діаметра (див. рис. 3,б), причиною якого може бути зміна геометрії міоцитів, індукована масованим входом  $\text{Ca}^{2+}$  з позаклітинного середовища й активацією скоротливого апарату. Широковживані інгібтори кальцієвих каналів, зокрема в міометрії, тетраетиламоній та 4-амінопіridин [10], очікувано знижували розміри міоцитів (див. рис. 3,в). Це знаходиться у відповідності із

стимуляцією цими речовинами транспорту  $\text{Ca}^{2+}$  в клітини внаслідок їх деполяризуючої дії на сарколему з подальшою активацією актоміозинового комплексу. Додавання до міоцитів специфічного інгібітора  $\text{Na}^+$ ,  $\text{K}^+$ -АТФази ouabainу спричинило збільшення розмірів міоцитів (див. рис. 3,в), що корелює з даними тензометричних досліджень, де ouabain знижував скоротливу активність смужок гладенького м'яза [8].

Аналіз конкретного випадку розподілу діаметра клітин (рис. 4) свідчить, що підвищення концентрації  $\text{Ca}^{2+}$  в середовищі до 3 ммол/л призводить як до зниження кількості крупних об'єктів у суспензії, так і до появи більш дрібних, що може бути наслідком зменшення розмірів міоцитів.

Слід також зазначити, що односпрямовані зміни розмірів міоцитів, наприклад у середовищі з  $\text{Ca}^{2+}$  та 4-амінопіридином, звужують діапазон розподілу їхнього діаметра.

Згідно з результатами конфокальної зйомки, вплив досліджуваних речовин на розміри

Рис. 3. Зміни діаметра міоцитів за дії речовин-модуляторів контрактильної активності: а – до гіпокальцієвого середовища (1 – контроль, 0,03 ммол/л  $\text{Ca}^{2+}$ ), 2 – внесення 3 ммол/л  $\text{Ca}^{2+}$ , б – 1 – контроль, 3 ммол/л  $\text{Ca}^{2+}$ , 2 – внесення 10 мкмоль/л А-23187, в – 1 – контроль, 3 ммол/л  $\text{Ca}^{2+}$ , 2 – внесення 1 ммоль/л 4-амінопіридину, тетраетиламонію (3), 4 – 50 мкмоль/л ouabainу. Р≤0,05 – відносно контролю

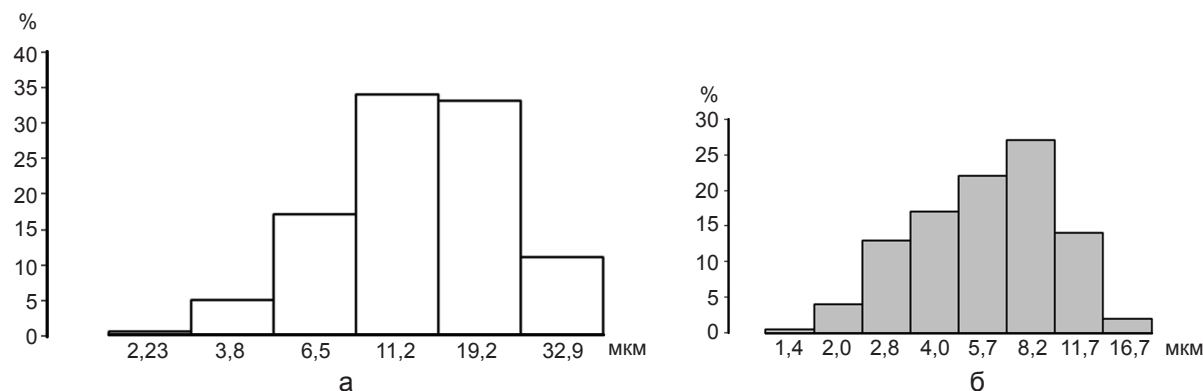


Рис. 4. Розподіл діаметра клітин в гіпокальцієвому середовищі (а) та за наявності 3 ммоль/л  $\text{Ca}^{2+}$  (б). За віссю абсцис – діаметр, за віссю ординат – розподіл клітин у зразку за розмірами (у відсотках). Представлені результат обробки результів комп’ютерною програмою

міоцитів важко інтерпретувати як процеси вкорочення–подовження клітин. Зміни їхнього діаметра можуть бути пояснені з огляду на можливі перебудови цитоскелета, які спостерігаються за дії речовин-модуляторів скоротливої активності. Зокрема, показано, що їхній вплив супроводжується виникненням як евагінацій, так і інвагінацій поверхні міоцитів [19, 21]. При інтерпретації одержаних нами результатів слід також враховувати взаємодію актинових філаментів із плазматичною мембрanoю в гладеньком’язових клітинах [13]. Отже, не викликає сумніву, що впливи, які змінюють активність контракtilьного апарату клітин міометрія, можуть привести до відповідних змін в їх морфології. Так, показано, що скорочення клітин міометрія вагітних жінок супроводжується зменшенням об’єму міоцитів [12]. Широковідомим є зв’язок між  $\text{Cl}^-$ -каналами сарколеми, які регулюють динаміку клітинного об’єму, та скоротливою активністю [22].

Вірогідним поясненням зареєстрованих нами змін діаметра клітин може бути також суттєве порушення осмотичної рівноваги між міоплазмою та позаклітинним середовищем як наслідок змін у транспорті іонів на рівні сарколеми під дією речовин, що модулюють скоротливу активність.

Таким чином, в деяких випадках, зміни розмірів міоцитів, оцінені із використанням

фотонної кореляційної спектроскопії, корелюють із даними досліджень скоротливої активності, які одержані іншими методами. Проте при математичному їх аналізі та інтерпретації корелограм виникає низка питань, пов’язаних із високою гетерогенністю клітинної популяції за розмірами та нетривіальною геометрією міоцитів (еліпс, подвійний конус або більш складна форма).

Автори висловлюють подяку члену-кореспонденту НАН України, професору С.О. Костеріну за цінні рекомендації під час обговорення експериментальних результатів.

Робота виконана за підтримки програми наукових досліджень НАН України “Фундаментальні основи молекулярних та клітинних біотехнологій” № держреєстрації 0110U005971.

**Ю.В. Данилович, А.Ю. Чуніхін,  
Г.В. Данилович**

## ТЕСТИРОВАНИЕ ИЗМЕНЕНИЙ РАЗМЕРОВ МИОЦИТОВ МАТКИ ПОД ДЕЙСТВИЕМ МОДУЛЯТОРОВ ЕЕ СОКРАТИТЕЛЬНОЙ АКТИВНОСТИ МЕТОДОМ ФОТОННОЙ КОРРЕЛЯЦИОННОЙ СПЕКТРОСКОПИИ

С использованием фотонной корреляционной спектроскопии изучено влияние веществ-модуляторов контрактильной активности гладких мышц на размеры (диаметр) миоцитов матки крыс. Клетки визуализировались с использованием лазерной конфокальной микроскопии как объекты преимущественно овальной или близкой к

овальної форми. Діаметр міоцитів, оцінений с помо-щю фотонної кореляційної спектроскопії, становив 7–10 мкм, що відповідає результатам, отриманим нами з використанням лазерної конфокальної мікроско-пії. Показано, що такі міоконстрикторні агенти, як кальциевий іонофор А-23187 (10 мкмоль/л) і інгібітори калієвих каналів (тетраэтиламмоній і 4-амінопіridин в концентрації 1 мМоль/л), призводять до зменшення діаметра клітин в середньому на 22, 12 і 24 % відповідно. В присутстві оуабаїну, який знижує сократительну активність гладкої м'язи, спостерігається збільшення вивченого показника в середньому на 23 %. Таким обра-зом, зменшення/збільшення діаметра міоцитів матки в присутстві вказанних речовин корелює з добре відомими в науковій літературі їх дією на сокра-щення/расслабление міометрія.

**Ключові слова:** фотонна кореляційна спектроско-пія, розмір міоцитів, міометрій, міоконстриктори, оуабайн.

**Yu.V. Danylovych, A. Ju.Chunikhin,  
G.V. Danylovych**

### **INVESTIGATION OF THE CHANGES IN UTERINE MYOCYTES SIZE DEPENDING ON CONTRACTILE ACTIVITY MODULATORS BY PHOTON CORRELATION SPECTROSCOPY**

By using photon correlation spectroscopy the effect of contractile activity modulators of smooth muscle to the size (diameter) of rats uterine muscle cells was investigated. Cells were studied by using laser confocal microscopy as objects mostly oval or nearly oval form. The diameter of myocytes, assessed by photon correlation spectroscopy, was amounted 7-10  $\mu\text{m}$  which is consistent with the results obtained by using laser confocal microscopy. It is shown that the myoconstricted agents as  $\text{Ca}^{2+}$  ionophore A-23187 (10  $\mu\text{M}$ ) and  $\text{K}^+$ -channels inhibitors (tetraethylammonium and 4-aminopyridine in a concentration of 1 mM) leading to decrease the diameter of the cells by 22%, 12% and 24% in average respectively. The ouabain, that reduces contractile activity of smooth muscle, leads to increase this parameter up 23% from control. Thus, decreasing/increasing the diameter of uterine myocytes correlates with their well known influence on myometrium constriction/relaxation.

**Key words:** photon correlation spectroscopy, hydrodynamic diameter, myocytes, myometrium, myoconstrictors, ouabain.

*Palladine Institute of Biochemistry, National Academy of Science of Ukraine, Kyiv*

### **СПИСОК ЛІТЕРАТУРИ**

1. Березовский В.А., Колотилов Н.Н. Биофизические характеристики тканей человека. Справочник. – К.: Наук. думка, 1990. – 224 с.
2. Данилович Г.В., Данилович Ю.В., Горчев В.Ф. Порівняльне дослідження методами спектрофлуориметрії та протоко-вої цитометрії поляризації плазматичної і внутрішньої мітохондріальної мембрани гладеньком'язових клітин із використанням потенціалчувствливого зонда  $\text{DiOC}_6(3)$  // Укр. біохім. журн. – 2011. – **83**, № 3. – С. 99–105.
3. Кандаурова Н.В., Чуніхін О.Ю., Бабіч Л.Г., Шликов С.Г., Костерін С.О. Модулятори трансемембранного кальцієвого обміну в мітохондріях змінюють їхній гідродинамічний діаметр // Там само. – 2010. – **82**, № 6. – С. 52–57.
4. Клюєва А.В., Левчук Ю.Н., Набока Ю.Н. Фотон-корре-ляційна спектроскопія белков // Там само. – 2002. – **74**, № 5. – С. 12–26.
5. Костюк П.Г., Зима В.Л. Мірошниченко М.С., Шуба М.Ф. Біофізика. – К.: Обереги, 2001. – 544 с.
6. Лебедев А.Д., Левчук Ю.Н., Ломакін А.В., Носкін В.А. Лазерна кореляційна спектроскопія в біології. – К.: Наук. думка, 1987. – 256 с.
7. Тугай В.А. Регуляторна роль протона в мембраних процесах м'яшечної клітки. – Там само, 1993. – 183 с.
8. Цимбалюк О.В., Онуфрийчук О.В., Векліч Т.О., Черенок С.О., Кальченко В.І., Мірошниченко М.С., Костерін С.О. Порівняльне дослідження впливу оуабаїну і каліксарен біс-гідроксиметилфосфонової кислоти на активність  $\text{Na}^+$ ,  $\text{K}^+$ -ATФази та механокінетику процесу «скорочення-розслаблення» гладенької м'язу // Фізи-ка живого. – 2006. – **14**, № 1. – С. 53–72.
9. Bazan C., Torres Barda D., Blomgren P., Paolini P. Image processing techniques for assessing contractility in isolated neonatal cardiac myocytes // Int. J. Biomed. Imaging. – 2011, Article ID 729732. – 9 p.
10. Brainard A.M., Korovkina V.P., England S.K. Potassium channels and uterine function // Semin. Cell Dev. Biol. – 2007. – **18**, № 3. – P. 332–339.
11. Delbridge L.M., Roos K.P. Optical methods to evaluate the contractile function of unloaded isolated cardiac myocytes // J. Moll. Cell Cardiol. – 1997. – **29**, № 1. – P. 11–25.
12. Dessouky D.A. Ultrastructural observations of the human uterine smooth muscle cells during gestation // Amer. J. Obstet. Gynecol. – 1976. – **125**, № 8. – P. 1099–1107.
13. Gunst S.J., Tang D.D. The contractile apparatus and me-chanical properties of airway smooth muscle // Eur. Respir. J. – 2000. – **15**, № 3. – P. 600–616.
14. Haussinger D., Reinehr R., Schliess F. The hepatocyte integrin system and cell volume sensing // Acta Physiol. – 2006. – **187**, Is. 1-2. – P. 249–255.
15. Hoffman E.K., Dunham P.B. Membrane mechanisms and intracellular signalling in cell volume regulation // Int. Rev. Cytol. – 1995. – **161**. – P. 162–173.
16. Jayakumar A.R., Lin M., Moriyama M. Na-K-Cl co-transporter-1 in the mechanism of ammonia-induced astrocyte swelling // J. Biol. Chem. – 2008. – **283**, № 49. – P. 33874–33882.
17. Kosterin S.A., Burdyga Th.V., Fomin V.P., Grover A.K. Mechanism of  $\text{Ca}^{2+}$ -transport in myometrium. – In: Control of Uterine Contractility / Eds. R.E. Garfield, T.N.

- Tabb // London, Tokyo: CRC Press, 1994. – P. 129–153.
18. Lewis R., Asplin K.E., Bruce G. The role of the membrane potential in chondrocyte volume regulation // *J. Cell Physiol.* – 2011. – **226**, № 11. – P. 2979–2986.
  19. Maruyama I., Kobayashi M., Yoshida C., Momose K. Ultrastructure of single smooth muscle cells contracted by carbachol and calcium ion // *J. Pharmacobiodyn.* – 1987. – **10**, № 8. – P. 396–403.
  20. Molland P., Mironneau J., Amedee T. Electrophysiological characterization of single pregnant rat myometrial cells in short-term primary culture // *Amer. J. Physiol.* – 1986. – **19**, № 1. – P.C. 47–54.
  21. Momose K. Isolation, configuration and contractile responses of single smooth muscle // *Nihon Yakurigaku Zasshi.* – 1993. – **101**, № 3. – P. 101–110.
  22. Remillard C.V., Yuan J.X. CLC-3: more than just a volume-sensitive Cl<sup>-</sup> channel // *Br. J. Pharmacol.* – 2005. – **145**, № 1. – P. 1–2.
  23. Schliess F., Sinning R., Fisher R. Calcium-dependent activation of Erk-1 and Erk-2 after hypo-osmotic astrocyte swelling // *Biochem. J.* – 1996. – **320**, Pt. 1. – P. 167–171.
  24. Shynlova O., Tsui P., Jaffer S., Lye S.J. Integration of endocrine and mechanical signals in the regulation of myometrial functions during pregnancy and labour // *Eur. J. Obstet. Gynecol. Reprod. Biol.* – 2009. – **144**, № 1. – P. 2–10.
  25. Sinning R., Schliess F., Kubitz R., Haussinger D. Osmo-signalling in C6 glioma cells // *FEBS Lett.* – 1997. – **400**, № 2. – P. 163–167.
  26. Stephan vom Dahl, Kircheis G., Haussinger D. Hepatic encephalopathy as a complication of liver disease // *World J. Gastroenterol.* – 2001. – 7, № 2. – P. 152–156.

*Інст біохімії ім. О.В. Палладіна НАН України, Київ*  
E-mail: danylovych@biochem.kiev.ua

*Матеріал надійшов до  
редакції 17.04.2012*